

## بررسی سنگ شناسی و مینرالوگرافی اندیس آهن گرموک سمیرم

صالحی<sup>۱</sup>، محمد<sup>\*</sup>، شمسی پور<sup>۲</sup>، رضا، باقری<sup>۳</sup>، هاشم، سلطانی<sup>۴</sup>، واحد

۱-دانشجویی کارشناسی ارشد زمین شناسی اقتصادی دانشگاه اصفهان

Mo.salehi64@yahoo.com

۲-استادیار زمین شناسی اقتصادی دانشگاه اصفهان

۳-استادیار زمین شناسی اقتصادی دانشگاه اصفهان

۴-دانشجویی معدن دانشگاه صنعتی اصفهان

### چکیده:

اندیس آهن گرموک سمیرم در سراشیبی تپه های شرق سمیرم (۱۲ کیلومتری شرق این شهر) واقع شده است. این اندیس از اطراف توسط کوه های نسبتاً مرتفع محدود شده و توسط جاده خاکی به طول ۴ کیلومتری روستای گرموک مرتبط می گردد. اطراف این اندیس به حالت اسکارنی می باشد که در اثرنفوذ یک دایک دیابازی در آهک های منطقه ایجاد شده است. در این منطقه یک گسل با روند شمال غربی-جنوب شرقی وجود دارد که احتمالاً در بالا آمدن توده نفوذی موثر بوده است. عیار آهن این اندیس ۳۹ درصد می باشد. این اندیس جزء اندیس های آهن با منشا درونزad می باشد.

**كلمات کلیدی:** اندیس، اسکارن، گرموک، دایک دیابازی، نفوذی، درون زاد

### Abstract:

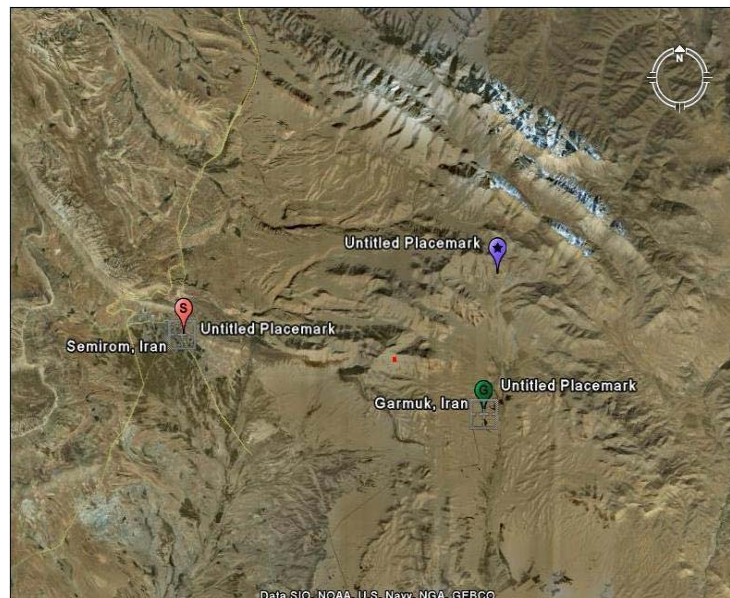
Iron Index of Garmuk (semirom) is located in hillsides of East semirom(12 kilometers to East of semirom). This index is limited by mountains and is linked by road with a length of 4 kilometers to Village Garmuk. This index neighborhood looks like Skarn and probably is created under influence of a mass of intrusion in Calcareous rocks. In this region there is a fault with NW-SE trend that probably affected the intrusion. Iron grade in this index is about 39 percent. This index belongs to those of hypogene genesis.

**key word:** Index, Skarn, Garmuk, Dike of diabas, Intrusion, Hypogen

### مقدمه:

اندیس آهن گرموک سمیرم همراه با سنگ های دیاباز و اسکارن تشکیل شده است که در آهک های خاکستری منطقه ایجاد شده است. در این منطقه یک گسل با روند شمال غربی-جنوب شرقی وجود دارد که احتمالاً در بالا آمدن این دایک دیابازی موثر بوده است. از این منطقه ۲۸ نمونه از قسمت های مختلف جمع آوری شد که از تعداد زیادی از آنها مقاطع نازک و صیقلی تهیه و مطالعه شده است. نمونه های جمع آوری شده عمدهاً دیابازهای آهن دار، نمونه های آهکی، باریت و رگه های کلسیت دانه درشت می باشد. مورفولوژی این اندیس شبیه دایک تا استوک می باشد. در این منطقه چند دسته گسل که احتمالاً از شاخه های فرعی گسل رورانده زاگرس هستند دیده می شود، که سن آنها احتمالاً پر کامبرین می باشد. این اندیس جزء اندیس های کوچک بشمار می رود و عیار آن در حد متوسط می باشد.

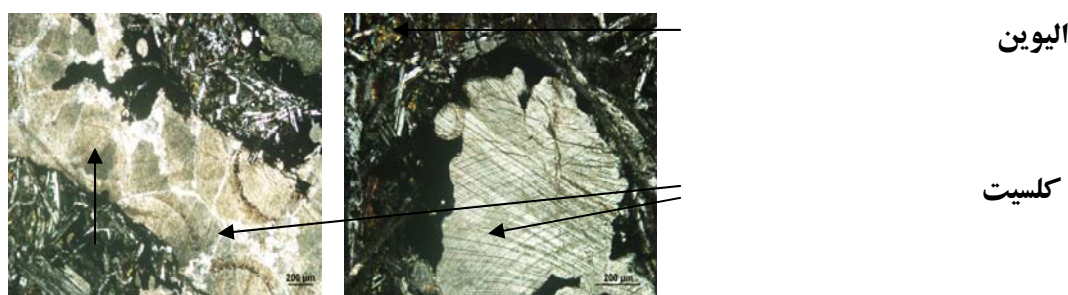
در شکل زیر تصویر ماهواره ای از سمیرم و روستای گرموک و محل اندیس را مشاهده می کنید.



شکل(۱): نقشه ماهواره‌ای شهرستان سمیرم (S) که در آن منطقه گرمک (G) و محل اندیس (علامت ستاره) مشخص شده است.

#### سنگ شناسی و کانی شناسی و مینرالوگرافی:

از نظر سنگ شناسی این منطقه شامل سنگ‌های رسوی، مانند شیل، آهک، کنگلومرا و....، سنگ‌های آذرین نیمه عمیق از جنس دیاباز با بافت تراکیتی و همچنین سنگ‌های آهکی دارای رگه‌های باریت می‌باشد که به صورت جزئی در منطقه پراکنده شده‌اند. سنگ‌های این منطقه بالاخص سنگ‌های آهکی بشدت دارای درز و شکاف هستند که توسط کلسیت دانه درشت به صورت ثانویه پر شده‌اند. درز و شکاف‌های نامبرده احتمالاً توسط گسل عبور کرده از منطقه یا در مقیاس کوچکتر توسط نفوذ ماقمای دیابازی ایجاد شده است. با توجه به بافت‌های رگه‌ای، افshan، اسکلتی که ماده معدنی از خود نشان می‌دهد و همچنین دیابازی که دارای بیشترین ماده معدنی می‌باشد، این گونه استنباط می‌گردد که ماده معدنی توسط دیاباز بوجود آمده است. بیشتر ماده معدنی به صورت مگنتیت می‌باشد که البته اکثراً هماتیت شده‌اند و این خود نشان دهنده تغییر شرایط از حالت احیا به اکسیدان در طی تکامل اندیس می‌باشد. مطالعات کانی شناسی بروی نمونه‌های این اندیس دو گروه کانی‌ها را مشخص می‌کند. الف: کانی‌های تشکیل دهنده سنگ درونگیر شامل: پلاژیوکلاز (Ca)، الیوین، پیرکسن، هورنبلنده، کلسیت می‌باشد.



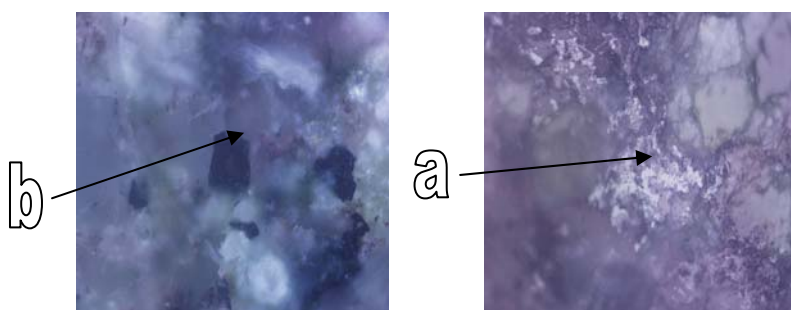
شکل(۲): بررسی‌های میکروسکوپی و کانی‌های تشکیل دهنده سنگ درونگیر

به علت مافیک بودن سنگ درونگیر کوارتزسیار کم و در ضمن اکسیدهای آهن دارای انعکاس داخلی زیادی به رنگ قرمز و قهوه ای روشن می باشد.

ب: کانه های معدنی شامل مگنتیت، هماتیت، گوتیت

پاراژنر کانی ها: پاراژنر کانه ها شامل هماتیت، مگنتیت، گوتیت می باشد.

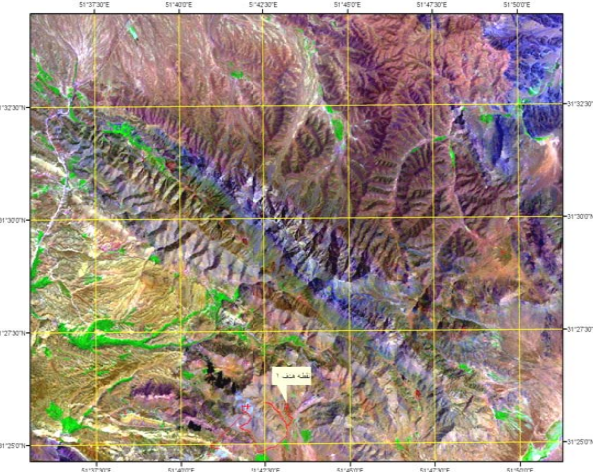
$3\text{FeO} + \text{Co}_2 = \text{Fe}_3\text{O}_4$  واکنش تشکیل مگنتیت از مگما دیاباز به شرح زیر است:



شکل (۳): a: مگنتیت در حال هماتیتی شدن (نور RPPL) b: مگنتیت کوییک (نور RXPL)

#### نتایج حاصل از دور سنجی:

شناسایی آهن های اسکارنی در استان اصفهان احتمال وجود کانی زایی های مشابه را در ادامه ای این روند زیاد می کند. پس از شناسایی زون دگرسانی - رسوبی سنندج - سیرجان در منطقه ای سمیرم که نسبتاً بکر مانده ، عملیات شناسایی با داده های ETM+ بر روی منطقه انجام گرفت. پس از انجام پردازش های مقدماتی همچون حذف گیاهان و تصحیحات هندسی، رادیومتریک و توپوگرافی، اقدام به استخراج نقشه ای آلتراسیون آهن و هیدروکسید در منطقه گردید؛ نتیجه ای کار به صورت یک نقشه ای RGB متتشکل از نسبت باندی ۳ به ۱ برای رنگ قرمز، معکوس باقیمانده ای LS-fit باند ۷ برای رنگ سبز و نسبت باندی ۵ به ۴ برای رنگ آبی بود. نسبت باندی ۳ به ۱ شاخص فراوانی یون اکسید آهن سه ظرفیتی و معکوس باقیمانده ای LS-fit باند ۷ نشان دهنده ای پراکندگی یون هیدروکسید و نسبت باندی ۵ به ۴ شاخص توزیع فراوانی یون آهن دو ظرفیتی است. ترکیب رنگی حاصل برای رنگ های قرمز و صورتی مایل به قرمز پراکندگی غالب اکسید های آهن را نشان می دهد که می تواند در مرحله ای پی جویی به عنوان هدف در نظر گرفته شود.



شکل ۴- تصویر RGB-741 از داده های ETM+

#### نتیجه گیری:

بررسی های زمین شناسی انجام گرفته بر روی این اندیس سنگ های اولیه این منطقه را آهکها و شیلهای تیره نشان می دهد که جزء رسوبات دریایی می باشد. آهک های این منطقه قادر فسیل می باشد که علت آن احتمالاً دگرگونی شدید ایجاد شده توسط نفوذ توده نفوذی می باشد. ماده معدنی عمدۀ این اندیس هماست و مگنتیت می باشد که توسط دیاباز بوجود آمده است و درواقع سنگ درنگیر اصلی دیاباز می باشد. در بسیاری از مطالعات مینرالوگرافی مگنتیت ها حالت جهت یافته دارند که احتمالاً تحت تاثیر گسل یا نفوذ توده نفوذی، جهت یافتنگی پیدا کرده اند. به علت وجود کانه مگنتیت و وجود خاصیت فرو مغناطیس که این کانه دارد در اکتشاف این نوع کانسار ها می توان از روش های ژئوفیزیکی بلخص روش الکترومغناطیس هوابردی نیز استفاده نمود.

#### منابع:

- (۱). آقانباتی، علی، ۱۳۸۳، زمین شناسی ایران، انتشارات سازمان زمین شناسی و اکتشافات معدنی کشور
- (۲). خیری، فلوریز، ۱۳۸۲، آزمایشگاه سنگ شناسی آذربایجان، انتشارات دانشگاه پیام نور
- (۳). شهاب پور، جمشید، ۱۳۸۰، زمین شناسی اقتصادی، انتشارات دانشگاه شهید باهنر کرمان
- 4). Laznicka, P., 2006, Giant metallic deposits, Springer, Australia, 732p.
- 5). Fraser, C. D., Magnetite maping with multicoil airborne electeromagnetite system, Geophysics, p. 1579 – 1593.